

УДК 512.643.5, 517, 933
MSC2020 15A18, 34K11

© А. И. Гудименко¹ А. В. Лихошерстов^{1,2}

Применение формулы Лагранжа для вычисления собственных чисел гармонической цепочки с диссипацией

Рассматривается задача о собственных значениях для динамической системы, описывающей в координатах Шредингера колебания однородной гармонической цепочки с диссипацией на границах. Комбинаторная формула Лагранжа применяется для получения равномерной аппроксимации собственных значений при достаточно большом числе частиц цепочки.

Ключевые слова: гармоническая цепочка, координаты Шредингера, формула Лагранжа, собственные значения.

DOI: <https://doi.org/10.47910/FEMJ202516>

Введение

В работе рассматривается динамическая система, заданная как граничная задача для дифференциально-разностного уравнения второго порядка:

$$\ddot{q}_l = q_{l+1} - 2q_l + q_{l-1}, \quad l = 0, \dots, L-1, \quad (1)$$

$$b\dot{q}_0 + q_0 - q_{-1} = 0, \quad q_L - q_{L-1} - c\dot{q}_{L-1} = 0. \quad (2)$$

Эта система описывает колебания однородной гармонической цепочки с диссипацией на границах. Здесь q_l , $l=0, \dots, L-1$, — эволюционные переменные системы, $b, c < 0$ — постоянные, характеризующие диссипацию, L — размерность системы.

Координаты Шредингера определяются выражениями [1, 2]

$$x_{2l} = \dot{q}_l, \quad x_{2l+1} = q_{l+1} - q_l, \quad l \in \mathbb{Z}.$$

¹ Институт прикладной математики ДВО РАН, 690041, г. Владивосток, ул. Радио, 7.

² Тихоокеанский океанологический институт им. В. И. Ильичёва, 690041, г. Владивосток, ул. Балтийская, 43.

Электронная почта: gudimenko@iam.dvo.ru (А.И. Гудименко), likhosherstov.02@mail.ru (А. В. Лихошерстов).

В этих координатах уравнения (1), (2) записываются в виде

$$\begin{aligned}\dot{x}_l &= x_{l+1} - x_{l-1}, \quad l = 0, \dots, N-1, \\ x_{-1} + bx_0 &= 0, \quad x_N - cx_{N-1} = 0,\end{aligned}\tag{3}$$

где $N = 2L - 1$, или в матричной форме — $\dot{x} = Ax$, где $x = (x_0, \dots, x_{N-1})^T$ и

$$A = \begin{pmatrix} b & 1 & & & 0 \\ -1 & 0 & 1 & & \\ & \ddots & \ddots & \ddots & \\ 0 & & -1 & 0 & 1 \\ & & & -1 & c \end{pmatrix}.$$

С граничной задачей (3) ассоциирована задача о собственных значениях

$$\begin{aligned}\lambda y_l &= y_{l+1} - y_{l-1}, \quad l = 0, \dots, N-1, \\ y_{-1} + by_0 &= 0, \quad y_N - cy_{N-1} = 0.\end{aligned}\tag{4}$$

Введём последовательность многочленов $P_l(\lambda)$, $l = -2, -1, \dots$, как решение рекуррентного соотношения

$$\lambda y_l = y_{l+1} - y_{l-1}, \quad l = -1, 0, \dots, \tag{5}$$

с начальными условиями $y_{-2} = 1$, $y_{-1} = 0$. Нетрудно проверить [3], что в терминах этих многочленов решение задачи (4) представляется в виде

$$y_l = P_l(\lambda) - bP_{l-1}(\lambda), \quad l = 0, \dots, N,$$

где λ — корень характеристического уравнения

$$P_N(\lambda) - (b+c)P_{N-1}(\lambda) + bcP_{N-2}(\lambda) = 0. \tag{6}$$

Введём спектральную переменную z , полагая $\lambda = z - 1/z$. Тогда решение начальной задачи для (5) записывается явно

$$P_l(\lambda) = \frac{z^{l+1} - (-z)^{-l-1}}{z + z^{-1}}, \quad l = -2, -1, \dots, \tag{7}$$

и подстановка (7) в (6) приводит при $z \neq \pm i$ к эквивалентному (6) уравнению $p_N(z) = 0$, где

$$p_N(z) = z^{2N}(z - b)(z - c) - (1 + bz)(1 + cz). \tag{8}$$

Настоящая работа является продолжением работы [3], посвящённой изучению структуры и расположения на комплексной плоскости корней многочлена (8). Новый результат состоит в представлении логарифмов этих корней (кроме не более двух пар так называемых исключительных корней) степенным рядом по параметру $1/N$, основываясь на одной из форм формулы обращения Лагранжа [4, р. 150] (см. также [5, р. 106] и [6, р. 133]). При этом мы ограничиваемся случаем $b, c < 0$ и нечётного N . Сравнение аппроксимаций корней на основе полученного ряда и

численных алгоритмов приложения MAPLE показывает хорошую согласованность этих аппроксимаций как по их степеням, так и по числу $N \rightarrow \infty$, причём совокупно по всем корням. Это позволяет предположить, что найденный ряд по отношению к корням является равномерно сходящимся и одновременно равномерным асимптотическим разложением своей суммы. В настоящей статье предпринята попытка аналитического обоснования этих утверждений.

Интерес к изучению корней многочлена (8) обусловлен следующими причинами.

1. Матрица A относится к специальному, но широкому классу тридиагональных матриц, впервые рассмотренному Losonczi [7] и активно изучаемому в последние десятилетия (см. обзорную статью [8]). Собственные числа этих матриц аналитически вычислены только в отдельных случаях. Для матрицы A — это случаи $b=c=0$ и $b=-c=\pm 1$.

2. В частном случае $b=c=\pm 1$ факторизация многочлена (8) приводит к характеристическому многочлену последовательности обобщённых чисел Пелля. Равличного вида обобщения этих чисел также являются в последнее время предметом активного исследования (см. статью [9] и ссылки в ней).

3. Многочлен (8) относится к классу возвратных многочленов. Он удовлетворяет условию, что если z — корень многочлена, то $-1/z$ тоже корень. Такие корни мы называем дуальными. Проблема, связанная с возвратными многочленами, — нахождение условий, определяющих их локацию (см., например, [10]). В нашем случае неисключительные корни многочлена (8) лежат на единичной окружности при $b=-c$ и $b=-1/c$. При $b,c < 0$ и $N \rightarrow \infty$ неисключительные корни стремятся к этой окружности слева.

4. Добавление в граничные условия (2) функций, представляющих гауссов дельта-коррелированный случайный процесс, приводит к уравнениям ланжевеновской гармонической цепочки — классической модели для изучения одномерного теплового потока. Хотя в пределе $t \rightarrow \infty$ этот поток давно вычислен [11, 12], сохраняется интерес, например, к переходным тепловым процессам, где может возникнуть необходимость в явном выражении собственных частот цепочки. В работе [13] предложены асимптотические формулы для собственных частот ланжевеновской цепочки. Наши формулы являются более общими и точными.

5. Предложенный метод нахождения корней многочлена (8) может быть обобщён на многочлены более общего вида. Представляет интерес, например, вычисление корней дистантных многочленов $p(z)z^N + q(z) = 0$, когда p и q — многочлены одинаковой степени, значительно меньшей $N \in \mathbb{N}$.

Отметим, что по тематике статьи есть несколько работ в Дальневосточном математическом журнале (см., например, работу [14] и ссылки в ней).

Помимо Введения статья включает два раздела. В первом мы формулируем и доказываем теорему о представлении корней характеристического многочлена с помощью ряда Лагранжа, о равномерной сходимости этого ряда и о представлении суммы ряда равномерным асимптотическим разложением. Во втором мы сравниваем результаты вычисления корней, полученные на основе частичных сумм ряда Лагранжа, со значениями корней, полученными численно в программе MAPLE.

1. Основное утверждение

Численный анализ показывает, что при фиксированных b, c и $N \rightarrow \infty$ все корни многочлена $p_N(z)$, за исключением не более двух пар дуальных корней, стремятся расположиться на единичной окружности $|z|=1$ комплексной плоскости. Визуально это расположение выглядит как на рис. 1.

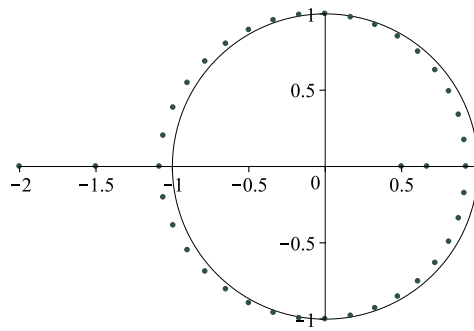


Рис. 1. Корни многочлена $p_N(z)$ на комплексной плоскости при $b = -1.5$, $c = -2$ и $N = 19$.

В работе [3] мы показали аналитически, что исключительные корни, то есть те, что при $N \rightarrow \infty$ не стремятся к единичной окружности, описываются следующим образом.

- (i) Если $b < -1$ и $c < -1$, то имеется четыре исключительных корня. Эти корни различные и вещественные; один стремится к b , другой к c , третий и четвертый — к дуальному значению.
- (ii) Если $b < -1$ и $-1 \leq c < 0$, то имеется два исключительных корня. Оба корня вещественные, один стремится к b , другой — к дуальному значению. То же верно при замене $b \rightleftarrows c$.
- (iii) Если $-1 \leq b < 0$ и $-1 \leq c < 0$, то таких корней нет.

Случай (i) — это случай надкритической граничной диссипации, случай (iii) — предкритической, случай (ii) — промежуточный.

Кроме того, мы установили, что стремление неисключительных корней к единичной окружности равномерное относительно корней в том смысле, что для любого достаточно узкого кольца

$$K(\delta) = \{z \in \mathbb{C}: 1 - \delta < |z| < 1 + \delta\}, \quad \delta > 0,$$

и любого достаточно большого N все неисключительные корни $p_N(z)$ лежат в этом кольце. Также мы установили, что для таких N эти корни различны.

В текущем разделе мы вычисляем неисключительные корни явно, аппроксимируя их логарифмы степенными рядами по $\epsilon = 1/N$ при $\epsilon \rightarrow 0$. Логарифм комплекснозначного выражения w обозначается $\ln w$. Его главная ветвь специфицируется выражением

$$\ln w = \ln |w| + i \operatorname{Arg} w, \quad -\pi < \operatorname{Arg} w \leq \pi, \quad (9)$$

где $\operatorname{Arg} w$ — главное значение аргумента. Кольцо $K(\delta)$ называется достаточно узким, если при $b, c \neq -1$ его замыкание не содержит b, c и дуальных к ним точек. Наше основное утверждение о корнях следующее.

Теорема 1. Для фиксированных $b, c < 0$ и любого достаточно малого ϵ неисключительные корни многочлена $p_N(z)$ представляются в виде

$$z = e^\psi, \quad (10)$$

$$\psi(\epsilon, \phi) = \sum_{n \geq 0} \epsilon^n \psi_n(\epsilon, \phi), \quad (11)$$

где

$$\psi_0 = i\phi, \quad -\pi < \phi \leq \pi, \quad (12)$$

$$\psi_n = \frac{1}{n!} \left. \frac{d^{n-1} F^n(e^\psi, e^{2\psi_0/\epsilon})}{d\psi^{n-1}} \right|_{\psi=\psi_0}, \quad n \geq 1, \quad (13)$$

$$F(z, a) = \frac{1}{2} \ln \frac{(1+bz)(1+cz)}{a(z-b)(z-c)}. \quad (14)$$

Если $b, c \neq -1$, то ряд (11) сходится равномерно по ϕ для всех достаточно малых ϵ и является равномерным асимптотическим разложением своей суммы при $\epsilon \rightarrow 0$.

При $b, c \neq -1$ неисключительные корни генерируются значениями

$$\phi_k = \begin{cases} \frac{\pi k}{N-1} & \text{в случае (i);} \\ \frac{\pi k}{N} - \frac{\pi}{2N} & \text{в случае (ii);} \\ \frac{\pi k}{N+1} & \text{в случае (iii),} \end{cases} \quad k \in \mathbb{Z}. \quad (15)$$

Доказательство. 1. Мы разбиваем доказательство на четыре части. В первой, текущей, мы показываем, что уравнение

$$\psi - \psi_0 = \epsilon F(e^\psi, e^{2\psi_0/\epsilon}), \quad (16)$$

полученное из характеристического уравнения

$$p_N(z) = 0 \quad (17)$$

преобразованием к переменной ψ , имеет ряд (11) в качестве формального решения.

Заметим, что уравнения (16) и (17) не эквивалентны. Из определения главной ветви логарифма \ln следует, что (16) влечёт за собой (17), и эквивалентно уравнению (17) только при

$$-\epsilon\pi < 2\Im(\psi - \psi_0) \leq \epsilon\pi. \quad (18)$$

Действительно, мы имеем

$$\begin{aligned}
 N(\psi - \psi_0) = F(e^\psi, e^{2N\psi_0}) &\implies e^{2N(\psi - \psi_0)} = \frac{(1 + bz)(1 + cz)}{e^{2N\psi_0}(z - b)(z - c)} \\
 \iff z^{2N} &= \frac{(1 + bz)(1 + cz)}{(z - b)(z - c)} \implies e^{2N(\psi - \psi_0)} = \frac{(1 + bz)(1 + cz)}{e^{2N\psi_0}(z - b)(z - c)} \\
 &\implies \ln e^{2N(\psi - \psi_0)} = 2F(e^\psi, e^{2N\psi_0}) \\
 \implies N\Re(\psi - \psi_0) + i\arg e^{2N\Im(\psi - \psi_0)} &= F(e^\psi, e^{2N\psi_0}) \implies N(\psi - \psi_0) = F(e^\psi, e^{2N\psi_0}),
 \end{aligned}$$

где последняя импликация справедлива в силу (18).

Чтобы показать, что ряд (11) является решением уравнения (16), мы трактуем переменную $e^{2\psi_0/\epsilon}$ как константу. Тогда (16) принимает вид

$$\psi - \psi_0 = \epsilon F(e^\psi, a), \quad |a| = 1, \quad (19)$$

и по форме совпадает с уравнением, рассматриваемым в комбинаторной теореме Лагранжа [4, р. 150]. Согласно этой теореме решение уравнения (19) представляется формальным степенным рядом по ϵ

$$\psi = \psi_0 + \sum_{n \geq 1} \frac{\epsilon^n}{n!} \frac{d^{n-1} F^n(e^{\psi_0}, a)}{d\psi^{n-1}}. \quad (20)$$

В частности, при $a = e^{2\psi_0/\epsilon}$ этот ряд — решение уравнения (16).

2. Здесь мы устанавливаем равномерную сходимость ряда (20) относительно ϕ и a . Для оценки членов ряда на единичной окружности мы хотим использовать интегральную формулу Коши [15]. Однако прямое применение этой формулы невозможно из-за неаналитичности функции $F(z, a)$ в любом кольце $K = K(\delta)$. Мы преодолеваем эту трудность следующим образом.

Мы берём кольцо K достаточно узким и для произвольного $z_0 = e^{\psi_0}$ рассматриваем $F(z, a)$ на диске

$$D_{z_0} = \{z \in \mathbb{C}: |z - z_0| < \delta\}.$$

Так как b, c и дуальные к ним точки не принадлежат K , то функция $F(z, a)$ гомоморфна на D_{z_0} за исключением кривых разрыва функции (см. рис. 2), которые согласно (9) задаются уравнением $\arg f(z, a) = \pi$, где

$$f(z, a) = \frac{(1 + bz)(1 + cz)}{a(z - b)(z - c)}.$$

Это уравнение, в свою очередь, эквивалентно условию

$$\Im f(z, a) = 0, \quad \Re f(z, a) \leq 0,$$

из которого следует, что кривые разрыва суть алгебраические кривые, степень которых не превышает четыре.

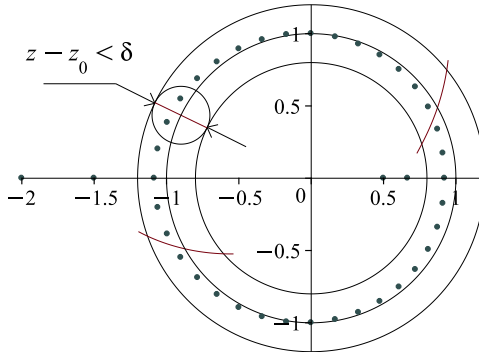


Рис. 2. Корни многочлена $p_N(z)$, кольцо K , диск D_{z_0} и кривые разрыва функции $F(z, z_0^{2N})$ при $b = -1.5$, $c = -2$, $N = 19$ и $z_0 = e^{2.69i}$.

Если функция $F(z, a)$ разрывна на D_{z_0} , мы заменяем её на ветвь $\tilde{F}(z, a)$ многозначной аналитической функции $\frac{1}{2} \ln f(z, a)$ такую, что $\tilde{F}(z_0, a) = F(z_0, a)$. В противном случае мы полагаем $\tilde{F}(z, a) = F(z, a)$. Кривые разрыва разбивают D_{z_0} на связные компоненты, и $\tilde{F}(z, a)$ является аналитическим продолжением $F(z, a)$ из связной компоненты, содержащей z_0 , на весь диск. Поэтому если z_0 — внутренняя точка этой компоненты, то функции $\tilde{F}(z, a)$ и $F(z, a)$ вместе с их производными по z любого порядка совпадают в этой точке. Если же z_0 — граничная точка (то есть точка разрыва), то совпадают соответствующие предельные значения этих функций и их производных при $z \rightarrow z_0$ на этой компоненте.

Перейдём теперь к оценке членов ряда (20). Так как функция $\tilde{F}(z, a)$ голоморфна на диске D_{z_0} , то функция $\tilde{F}(e^\psi, a)$ голоморфна на открытом множестве

$$U_{\psi_0} = \{\psi \in \mathbb{C}: \psi = L(z), z \in D_{z_0}\},$$

где $L(z)$ есть ветвь логарифма $\ln z$ на D_{z_0} такая, что $L(z_0) = \psi_0$. На границе ∂U_{ψ_0} множества U_{ψ_0} выполняются оценки

$$|\tilde{F}(z, a)| < \frac{m}{2} < \infty, \quad |\psi - \psi_0| > \frac{\delta}{2}, \quad \delta \rightarrow 0. \quad (21)$$

Первая следует из неравенства

$$|\tilde{F}(z, a)| \leq \sup_{z \in K} |\tilde{F}(z, a)| = \frac{1}{2} \sup_{z \in K} (|\ln |f(z, a)|| + |\arg f(z, a)|) < \infty,$$

справедливого в силу ограниченности $|f(z, a)|$ на K при $b, c \neq -1$. Для обоснования второй зададим границу диска D_{z_0} уравнением $z = z_0 + \delta e^{i\theta}$ и представим ∂U_{ψ_0} в виде

$$\begin{aligned} \psi - \psi_0 &= L(z) - L(z_0) = \ln \left| \frac{z}{z_0} \right| + i(\arg z - \arg z_0) = \ln \left| \frac{z}{z_0} \right| + i \operatorname{Arg} \frac{z}{z_0} = \\ &= \operatorname{Ln} \frac{z}{z_0} = \operatorname{Ln} [1 + \delta e^{i(\theta - \phi)}], \end{aligned} \quad (22)$$

где единственное нетривиальное равенство

$$\arg z - \arg z_0 = \operatorname{Arg} \frac{z}{z_0}$$

верно в силу малости δ , так как тогда $\arg(z/z_0)$ также мал и не выходит за пределы интервала $(-\pi, \pi]$. Тогда рассматриваемая оценка следует из (22) и оценки

$$|\ln[1 + \delta e^{i(\theta-\phi)}]| > \frac{\delta}{2}.$$

С учётом (21) из интегральной формулы Коши находим

$$\begin{aligned} \left| \frac{1}{n!} \frac{d^{n-1} F^n(e^\psi, a)}{d\psi^{n-1}} \Big|_{\psi=\psi_0} \right| &= \left| \frac{1}{2\pi n} \int_{\partial U_{\psi_0}} \left[\frac{F(e^\psi, a)}{\psi - \psi_0} \right]^n d\psi \right| \leqslant \\ &\leqslant \frac{1}{2\pi n} \int_{\partial U_{\psi_0}} \left| \frac{F(e^\psi, a)}{\psi - \psi_0} \right|^n |d\psi| < \frac{1}{2\pi n} \frac{m^n}{\delta^n} 2\pi < \left[\frac{m}{\delta} \right]^n, \end{aligned} \quad (23)$$

то есть для достаточно малых ϵ ряд (20) мажорируется сходящимся геометрическим рядом, что влечёт за собой равномерную сходимость ряда (20).

3. Оценка ряда (11) геометрическим рядом означает также, что этот ряд является равномерным относительно ϕ асимптотическим разложением при $\epsilon \rightarrow 0$ своей суммы. Это следует из (23) и оценок

$$\begin{aligned} \frac{1}{\epsilon^k} \left| \psi - \sum_{n=0}^{k-1} \epsilon^n \psi_n \right| &= \left| \sum_{n=0}^{\infty} \epsilon^n \psi_{n+k} \right| \leqslant \sum_{n=0}^{\infty} \epsilon^n |\psi_{n+k}| = \left[\frac{m}{\delta} \right]^k \sum_{n=0}^{\infty} \epsilon^n \left[\frac{m}{\delta} \right]^n < \\ &< M < \infty, \quad \epsilon \rightarrow 0. \end{aligned}$$

4. В последней части доказательства мы показываем, что для достаточно малых ϵ корни уравнения (16), определённые рядом (11) и начальными аппроксимациями (15), различны, то есть совпадают по числу с этими аппроксимациями. В силу импликации (16) \Rightarrow (17) это означает, что уравнения (10)–(15) определяют все неисключительные корни уравнения (17).

Мы исходим из наблюдения, что для достаточно малых ϵ корни, определённые рядом (11), суть значения функции $\psi(\epsilon, \phi)$ на интервалах ϕ между соседними точками разрыва этой функции. Тогда, чтобы показать, что при начальных аппроксимациях (15) эти корни различны, мы должны установить, что разные значения (15) попадают в разные интервалы непрерывности, или, другими словами, что между соседними точками (15) лежит по крайней мере одна точка разрыва. Полагаясь на равномерную асимптотическую сходимость ряда, мы ограничиваемся в этом исследовании первым приближением функции $\psi(\epsilon, \phi)$ (см. рис. 3).

Начнём с характеризации точек разрыва функции ψ_1 . В соответствии с определением \ln это точки, в которых $\operatorname{Arg} f(e^{i\phi}, e^{2i\phi/\epsilon}) = \pi$. Мы ассоциируем их с точками

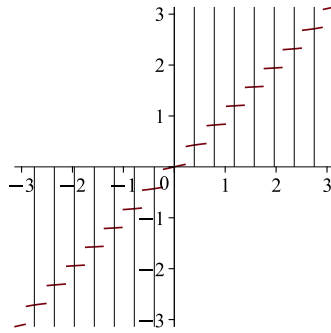


Рис. 3. График функции $\text{Arg}[\psi_0(\phi) + \epsilon\psi_1(\epsilon, \phi)]$ при $b = -1.5$, $c = -2$ и $N = 9$. Вертикальные линии представляют начальные аппроксимации.

нулевого аргумента ψ_1 , в которых $\text{Arg } f(e^{i\phi}, e^{2i\phi/\epsilon}) = 0$. В совокупности те и другие суть в точности решения уравнения

$$\Im f(e^{i\phi}, e^{2i\phi/\epsilon}) = 0 \quad (24)$$

и различаются только знаком в них функции $\Re f(e^{i\phi}, e^{2i\phi/\epsilon})$. Для первых он отрицательный, для вторых — положительный. В тригонометрической форме (24) эквивалентно уравнению

$$\begin{aligned} \omega_N(\phi) &\equiv \sin 2\phi(N+1) - A \sin 2\phi N + B \sin 2\phi(N-1) = 0, \\ A &= b^2 + c^2, \quad B = b^2 c^2, \end{aligned} \quad (25)$$

а знак функции $\Re f(e^{i\phi}, e^{2i\phi/\epsilon})$ совпадает со знаком выражения

$$\cos 2\phi(N+1) - A \cos 2\phi N + B \cos 2\phi(N-1).$$

Заметим, что из этих формул следует, что $\phi = 0, \pi/2$ суть точки нулевого аргумента для всех $b, c < 0$, исключая случай (ii), в котором $\phi = 0$ является точкой разрыва.

Точки разрыва и точки нулевого аргумента перемежаются. Это следует из тождества

$$\frac{d}{d\phi} \arg f = -\frac{2}{\epsilon} + \frac{2(b^2 c^2 - 1)[b^2 c^2 - (b^2 + c^2) \cos 2\phi + 1]}{(b^4 - 2b^2 \cos 2\phi + 1)(c^4 - 2c^2 \cos 2\phi + 1)},$$

которое показывает, что для достаточно малых ϵ функция $\arg f$ монотонна и, следовательно, значения 0 и π функции $\text{Arg } f$ чередуются с ростом ϕ .

Теперь мы готовы показать, что между ближайшими начальными аппроксимациями (15) лежит по крайней мере одна точка разрыва. Для этого мы уплотним сетку значений (15), рассматривая вместо неё последовательность $\phi_{k/2}$, $k \in \mathbb{Z}$. Про-

стые вычисления показывают, что

$$\omega_N(\phi_{k/2}) = \begin{cases} (-1)^k \sin \phi_k (2 \cos \phi_k - A) & \text{в случае (i);} \\ (-1)^k (B - 1) \sin \left(\phi_k - \frac{\pi}{2N} \right) & \text{в случае (ii);} \\ (-1)^k \sin \phi_k (A - 2B \cos \phi_k) & \text{в случае (iii).} \end{cases} \quad (26)$$

Рассмотрим случай (i). Учитывая симметрию задачи, ограничимся рассмотрением отрезка $\phi \in [0, \pi/2]$. На интервале $(0, \pi/2)$ выражение (26) не обращается в нуль, а его знак определяется только коэффициентом $(-1)^k$ и, следовательно, меняется на противоположный при переходе $k \rightarrow k + 1$. Это означает, что на этом интервале между соседними точками последовательности $\phi_{k/2}$, $k \in \mathbb{Z}$, обязательно лежит хотя бы один корень уравнения (25) и, в силу перемежаемости точек разрыва и точек нулевого аргумента, между соседними точками (15) лежит хотя бы одна точка разрыва. В граничных интервалах $[\phi_0, \phi_1]$ и $(\phi_{N-2}, \phi_{N-1}]$ также лежат точки разрыва. Это следует из того, что внутри каждого из этих интервалов лежит корень уравнения (25) и ϕ_0 и ϕ_{N-1} — точки нулевого аргумента. Если этот корень является точкой нулевого аргумента, то в силу перемежаемости между ним и граничной точкой обязательно есть точка разрыва. В противном случае сам этот корень является точкой разрыва.

Анализ случая (iii) полностью аналогичен анализу случая (i). Случай (ii) при $bc \neq 1$ рассматривается также аналогично с той поправкой, что диапазон изменения ϕ ограничивается отрезком $[\pi/2, \pi/2 + \pi/2N]$ и $\phi = 0$ является точкой разрыва. При $bc = 1$ последовательность $\phi_{k/2}$ является решением уравнения (25), и, следовательно, между ближайшими точками (15) обязательно лежит точка разрыва. \square

2. Численный анализ

Сравним результаты вычисления корней многочлена $p_N(z)$, полученные с помощью формул (10)–(15) и полученные на основе численных алгоритмов приложения MAPLE. Для примера исследуем случай (iii) при $b, c \in (-1, 0)$. На рис. 4 для выбранных корней многочлена $p_N(z)$ и разных значений параметров N , b и c показаны графики порядка точности аппроксимации этих корней формулами (10)–(15) в зависимости от порядка аппроксимации.

Порядок аппроксимации — это порядок n частичной суммы ряда (11), взятой для аппроксимации. Порядок точности аппроксимации — это величина

$$n_\epsilon = \frac{\ln |z - z_\epsilon|}{\ln \epsilon}, \quad \epsilon = 1/N,$$

где z — точные координаты корня многочлена $p_N(z)$, $z_\epsilon = z_\epsilon(n)$ — его приближённое значение, соответствующее порядку аппроксимации n . Выбор корней указан в описании рисунка. Это корни с наихудшей $\phi = \phi_0$, наилучшей $\phi = \phi_{(N-1)/2}$ и промежуточной $\phi = \phi_{(N+1)/4}$ точностью аппроксимации. Значения этих корней были получены программой MAPLE с точностью до 10^{-40} .

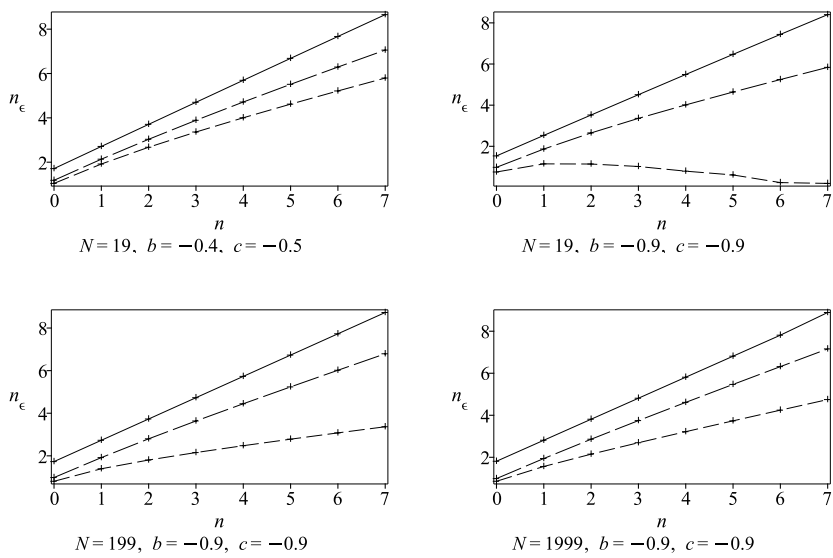


Рис. 4. Порядок точности аппроксимации n_ϵ как функция порядка аппроксимации n для выбранных корней многочлена $p_N(z)$ при различных значениях N , b и c . Штриховая линия обозначает корень, ближайший к точке $z=1$, сплошная линия — к точке с угловой координатой $\phi=\phi_{(N-1)/2}$, линия с длинными штрихами — к точке с угловой координатой $\phi=\phi_{(N+1)/4}$.

Мы видим, что если b и c достаточно далеки от значения -1 , то даже при относительно малых N приближение корней многочлена $p_N(z)$, полученное на основе частичных сумм ряда (11), отлично согласуется с порядком этих сумм. Если же b и c близки к -1 , то корни, близкие к $|z|=1$, аппроксимируются плохо. Однако при увеличении N согласование порядка точности аппроксимации с порядком аппроксимации восстанавливается.

Представленные наблюдения являются косвенным подтверждением утверждений, сделанных в теореме предыдущего раздела.

Список литературы

- [1] Schrödinger E., “Zur Dynamik elastisch gekoppelter Punktsysteme”, *Annalen der Physik*, **44**, (1914), 916–934.
- [2] Takizawa E., Kobayashi K., “Heat Flow in a System of Coupled Harmonic Oscillators”, *Chinese J. Phys.*, **1**:2, (1963), 59–73.
- [3] Gudimenko A. I., Likhoshcherstov A., “Spectral problem for a harmonic chain with dissipation at the boundaries”, *Math. Notes*, **116**:4, (2024), 600–613.
- [4] Comtet L., *Advanced combinatorics. The art of finite and infinite expansions*, D. Reidel Publishing Company, Dordrecht-Holland, 1974.

- [5] Goursat E., *A Course in Mathematical Analysis, Vol. 2: Functions of a Complex Variable*, Ginn and Company, Boston, New York, 1916.
- [6] Whittaker E. T., Watson G. N., *A Course of Modern Analysis*, Cambridge University Press, Cambridge, UK, 2021.
- [7] Losonczi L., “Eigenvalues and eigenvectors of some tridiagonal matrices”, *Acta Math. Hungar.*, **60**, (1992), 309–322.
- [8] da Fonseca C. M., Kowalenko V., “Eigenpairs of a family of tridiagonal matrices: three decades later”, *Acta Math. Hungar.*, **160**, (2020), 376–389.
- [9] Du Z., da Fonseca C. M., “Root location for the characteristic polynomial of a Fibonacci type sequence”, *Czechoslovak Mathematical Journal*, **73**:1, (2023), 189–195.
- [10] Losonczi L., “On the zeros of reciprocal polynomials”, *Publ. Math. Debrecen.*, **94**:3–4, (2019), 455–466.
- [11] Rieder Z., Lebowitz J. L., Lieb E., “Properties of a harmonic crystal in a stationary nonequilibrium state”, *J. Math. Phys.*, **8**:5, (1967), 1073–1078.
- [12] Nakazawa H., “On the lattice thermal conduction”, *Progress of Theoretical Physics Supplement*, **45**, (1970), 231–262.
- [13] Weiderpass G. A., Monteiro G. M., Caldeira A. O., “Exact solution for the heat conductance in harmonic chains”, *Phys. Rev. B*, **102**, (2020), 125401.
- [14] Гузев М. А., Дмитриев А. А., “Различные формы представления решения одномерной гармонической модели кристалла”, *Дальневост. матем. журн.*, **17**:1, (2017), 30–47.
- [15] Евграфов М. А., *Аналитические функции*, Наука ГРФМЛ, Москва, 1991.

Поступила в редакцию
01 июня 2025 г.

Работа выполнена в рамках государственного
задания ИПМ ДВО РАН № 075-00459-25-00.
Работа А. В. Лихошерстова поддержана Рос-
сийским Научным Фондом (проект № 22-11-
00171-II).

Gudimenko A. I.¹, Likhoshherstov A. V.^{1,2} Application of the Lagrange formula to calculate the eigenvalues of a harmonic chain with dissipation at the boundaries. *Far Eastern Mathematical Journal*. 2025. V. 25. No 2. P. 232–243.

¹ Institute for Applied Mathematics, Far Eastern Branch, Russian Academy of Sciences

² Il'ichev Pacific Oceanological Institute, Far Eastern Branch, Russian Academy of Sciences

ABSTRACT

The eigenvalue problem for a dynamic system describing in Schrödinger coordinates the oscillations of a homogeneous harmonic chain with dissipation at the boundaries is considered. The combinatorial Lagrange formula is used to obtain a uniform approximation of the eigenvalues for a sufficiently large number of particles in the chain.

Key words: *harmonic chain, Schrödinger coordinates, eigenvalue problem.*